

九州大学 正会員 ○園田 敏矢
 ツ ツ 烏野 清
 ツ ツ 小坪 清貞
 九州工業大学 ツ 高西 照彦

1. まえがき 博多湾箱崎埠頭に総延長 800m の鋼管二重カーテン式防波堤が建設中である。この形式は我国では初めてと思われ、従来のケーソン式防波堤に比べ、地盤改良の必要がなく安価である、堤内の海水の透過性が良い等の長所がある。しかし、剛性がかなり小さいという短所もある。

波圧による応答を理論的に解析する場合、波圧の大きさ、振動特性と共に、防波堤自体の振動特性（固有振動数、変位モード、減衰定数）も明らかにならなければならぬ。

現在、140m の区間が完成しており、この区間にに対して起振機試験を行ない、振動特性を求めた。又、動水圧による付着水の影響を求める、模型実験により理論の検証を行った。

2. 起振機試験 防波堤の正面図、側面図を図-1 図-2 に示す。外径 81.3cm の鋼管を堤軸直角に 4m 間隔を開けて 2 本打込み、それを堤軸方向に 2m 間隔で打込んでいく。その後、10m ブロックコンクリート製頂版で一体にし、それをつなぎ図-3 に示すような 14 ブロック（全長 140m）の防波堤としたものである。カーテンはコンクリート製で図-1 に示すようにスリットが開いている。これは堤内の海水の交換作用を促すためである。図-3 は起振機設置位置と測定位置を示したものである。起振機設置位置を 2箇所にしたのは、ブロック 2 からブロック 15 にかけて地盤が悪くなること、起振機の起振力が弱い場合（起振周波数が低い場合）に起振機近傍だけが振動し、他の部分があまり振動しない恐れがあることなどによる。図中の X 印にサーボ加速度計（明石製作所製、V401A、容量 3G）を設置した。ブロック 9, 12, 14 のカーテン上端に歪式加速度計（共和電業製、AS-2C、容量 2G）を取り付け、防波堤本体とカーテンの動きの違いを測定したが、両者はほぼ一体として振動していた。防波堤の振動特性に及ぼす水位の影響を知るために、満潮時（水位 4.1m）、干潮時（水位 3.5m）の試験を行った。図-4 は起振機をブロック 9 に設置した時の測点 7 の加速度共振曲線である。干潮時（○印）の防波堤の固有振動数が 1 次で 2.20Hz、2 次で 5.20Hz に対して、満潮時（●印）の固有振動数が 1 次で 1.85Hz、2 次で 4.80Hz である。明らかに 1 次、2 次共、水位が高くなると動水圧による付着水の影響を大きく受け、固有振動数が低くなっている。

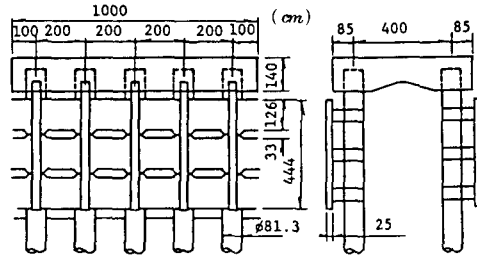


図-1 防波堤正面図

図-2 防波堤側面図

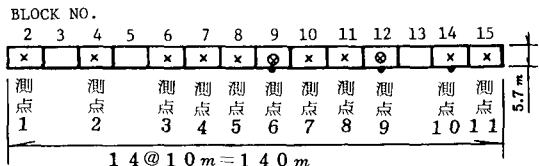


図-3 防波堤平面図

×印はサーボ加速度計設置位置
 ●印は歪式加速度計設置位置
 ○印は起振機設置位置

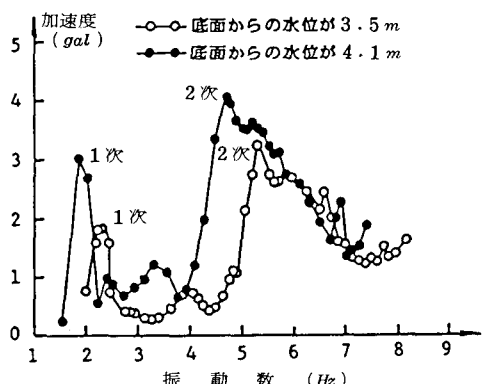


図-4 測点 7 の加速度共振曲線（起振力 1 tf 一定）

1 次の変位モード (1.84 Hz)
 2 次の変位モード (4.80 Hz)

Figure 5 shows two plots of displacement mode shapes. The top plot shows the first mode shape (1.84 Hz) across blocks 2 to 15, with displacement increasing from block 2 to a peak at block 10 and then decreasing. The bottom plot shows the second mode shape (4.80 Hz) across blocks 2 to 15, with displacement increasing from block 2 to a peak at block 10 and then decreasing.

る。干潮時の変位モードも同様であり、起振機をブロック12に移した時の変位モードも、その点が大きく変位したがほぼ同様であった。減衰定数は共振曲線より1/12法で求めた。水位の高さ、振動次数にかかわらず、 $\eta = 0.07 \sim 0.09$ 程度であった。

3. 理論解析 図-6に示す二重カーテンが $f(z) = \alpha(H-z)/H$ で変位する時の、動水圧による付着重量を2次元解析で求めめる。水を非圧縮性とし、カーテン外側領域の動水圧を σ_1 、内側領域の動水圧を σ_2 とし、(1)式の境界条件を適用すると(2)式のように求まる。

$$\left. \begin{aligned} \frac{\partial \sigma_1}{\partial z} \Big|_{z=H} &= \left. \frac{\partial \sigma_2}{\partial z} \right|_{z=H} = 0, (\sigma_1)_{z=0} = (\sigma_2)_{z=0} = 0 \\ (\sigma_1)_{x=\infty} &= 0, (\sigma_2)_{x=-l} = 0 \end{aligned} \right\} (1)$$

$$\sigma_1 = \sum_{m=1}^{\infty} C_m e^{-\lambda_m x} \sin \lambda_m z \cdot e^{i \omega t} \quad (2)$$

$$\sigma_2 = \sum_{m=1}^{\infty} C'_m \left[\cosh \lambda_m x + \coth \lambda_m l \cdot \sinh \lambda_m x \right] \sin \lambda_m z \cdot e^{i \omega t} \quad (2)$$

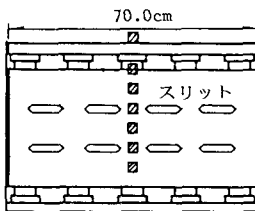


図-7 模型正面図

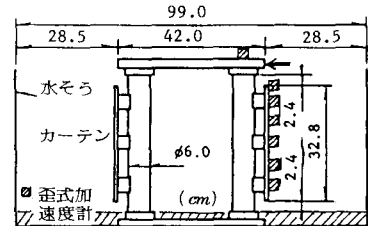


図-8 模型側面図

C_m, C'_m は未定係数で(3)式の境界条件より求められる。

$$\left. \begin{aligned} \frac{\partial \sigma_1}{\partial x} \Big|_{z=0} &= -\frac{W_0 \omega^2 U}{g} \alpha \frac{H-z}{H} \cos \omega t, \quad \left. \frac{\partial \sigma_2}{\partial x} \right|_{z=0} = -\frac{W_0 \omega^2 U}{g} \alpha \frac{H-z}{H} \cos \omega t \quad (0 \leq z \leq H) \\ (\sigma_1)_{z=0} &= (\sigma_2)_{z=0}, \quad \left. \frac{\partial \sigma_1}{\partial x} \right|_{z=0} = \left. \frac{\partial \sigma_2}{\partial x} \right|_{z=0} \quad (H \leq z \leq H) \end{aligned} \right\} (3)$$

ただし、 W_0 は水の単位体積重量、 U は水分子の水平方向変位である。本解析では選点法を用い、カーテン部分 H_1 を N_1 等分、カーテンの無い部分 ($H-H_1$) を N_2 等分し、未定係数を $C_1, C_2, C_3, \dots, C_N, C'_1, C'_2, C'_3, \dots, C'_N$ ($N=N_1+N_2$) として(3)式の境界条件より連立方程式を立て求めた。各係数が求められると、 j 点の動水圧 $\sigma_1(j)$ は(4)式で求まる。 $\sigma_1(j) = \alpha W_0 H F_1(j)$, $\alpha = \omega^2 \alpha / g$

$$F_1(j) = (2/\pi) \sum_{k=1}^N (C_k \sin \{(2k-1)\pi j / 2N\}) \quad (4)$$

$\sigma_2(j)$ も同様に求まる。 $F_1(j)$ は付着重量係数である。

4. 模型実験 鋼管のかわりに外径 6 cm の塩ビパイプ、カーテンとして厚さ 1 cm のアクリル板、頂版として厚さ 2.5 cm の鉄板を用いて模型を製作した。カーテンには実物同様スリットをつけた。(図-7、図-8 参照) これを水槽に固定し、頂板をたたき自由減衰振動をおこし、固有振動数を求めた。水位の影響を知るために、いろいろの水位について実験を行った。カーテンの深さ方向変位モードを表わしたもののが図-9である。図-10 は水位 $H = 34.2$ cm の場合の付着重量係数の理論解である。図-10(a) はスリットを考慮しない場合、図-10(b) はスリットが水平方向に全部開いている場合である。スリットを考慮した付着重量は、しない場合のそれの約 $1/3$ であった。図-11 は水位を変化させた時の固有振動数を表わしたもので○印は実験値、実線・点線は理諭値である。水位が高くなるにつれて動水圧による付着重量が大きくなり、固有振動数が小さくなっている。

スリットを考慮しない場合は動水圧の過大評価であり、スリットを考慮した場合は動水圧の過小評価である。実際はこの中間であると思われる。

(参考文献) 小坪「不規則な地震動による動水圧」土木学会論文報告集第37号(昭和32年8月)

園田・鳥野・小坪・高西「鋼管ニ重カーテン式防波堤の振動特性」昭58年度土木学会西部支部研究発表会。

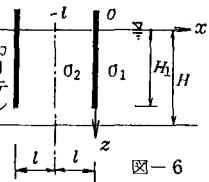


図-6

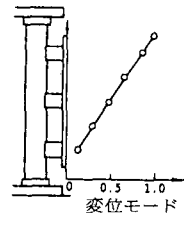


図-9
カーテンの深さ
方向変位モード

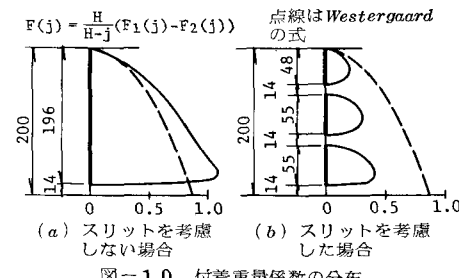


図-10 付着重量係数の分布

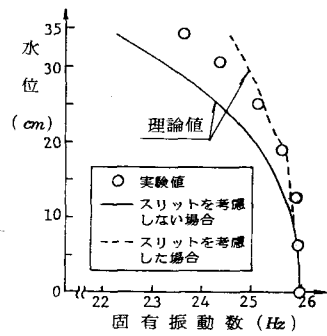


図-11 水位を変化させた時の固有振動数の変化